

สารบัญ

	หน้า
กิตติกรรมประกาศ	ค
บทคัดย่อภาษาไทย	ง
บทคัดย่อภาษาอังกฤษ	ฉ
สารบัญตาราง	ช
สารบัญภาพ	ฌ
อักษรย่อและสัญลักษณ์	ฎ
บทที่ 1 บทนำ	1
1.1 ที่มาและความสำคัญของปัญหา	1
1.2 วัตถุประสงค์ของการวิจัย	2
1.3 สมมติฐานการวิจัย	3
1.4 ขอบเขตการวิจัย	3
บทที่ 2 สรุปสาระสำคัญจากเอกสารที่เกี่ยวข้อง	4
บทที่ 3 วิธีการวิจัย	18
3.1 การเตรียมตัวอย่างพื้นที่ใช้ศึกษา	18
3.2 เครื่องมือที่ใช้ศึกษา	18
3.3 วิธีการวิจัย	18
3.4 การวิเคราะห์ข้อมูลทางสถิติ	22
บทที่ 4 ผลการศึกษา	23
บทที่ 5 อภิปรายผลการศึกษา	32
บทที่ 6 สรุปผลการศึกษา	37
เอกสารอ้างอิง	39
ภาคผนวก	45
ประวัติผู้เขียน	56

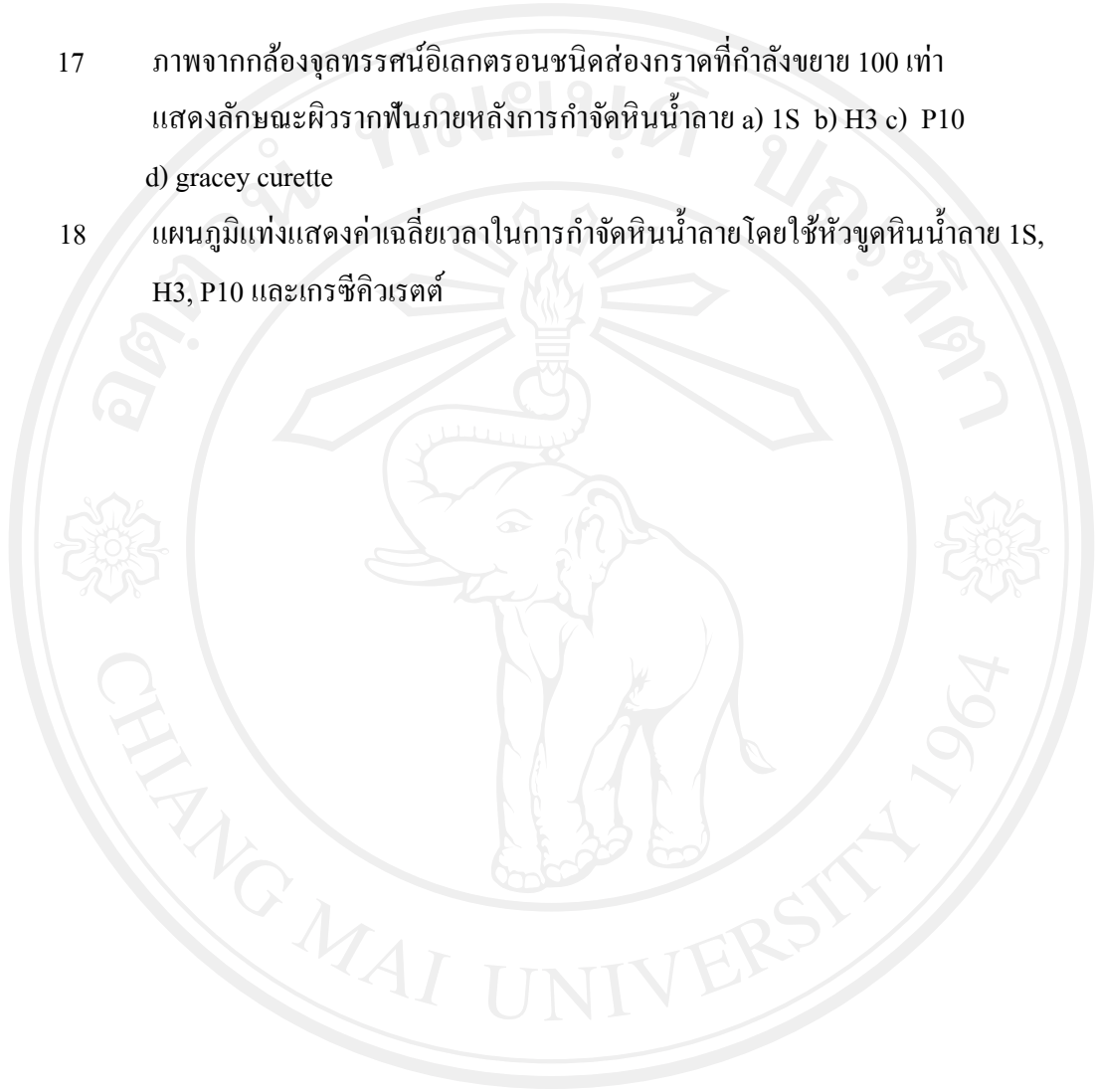
สารบัญตาราง

ตาราง		หน้า
1	ความกว้างเฉลี่ยของช่องว่างรากลฟัน เครื่องมือขูดหินน้ำลายด้วยมือและเครื่องขูดหินน้ำลายไฟฟ้า	12
2	เปรียบเทียบเครื่องขูดหินน้ำลายด้วยมือกับเครื่องขูดหินน้ำลายอัลตราโซนิคส์	13
3	เปรียบเทียบระหว่างเครื่องขูดหินน้ำลายอัลตราโซนิคส์ชนิดแมกนีโตสตรีกทิฟและเครื่องขูดหินน้ำลายอัลตราโซนิคส์ชนิดพีโซอิเล็กทริก	14
4	เกณฑ์การวัดหินน้ำลายตกค้าง (Remaining calculus index)	21
5	เกณฑ์การวัดความขรุขระและการสูญเสียผิวรากลฟัน (Roughness and loss of tooth substance index)	21
6	ค่ามาตรฐานการอ่านค่า RCI และ RLTSI	21
7	เปรียบเทียบความแตกต่างค่าเฉลี่ยความถี่สะสมของคะแนนตามดัชนีหินน้ำลายตกค้างภายหลังการกำจัดหินน้ำลายด้วยหัวขูดหินน้ำลาย 1S, H3, P10 และเกรซีคิวเรตต์	26
8	เปรียบเทียบความแตกต่างค่าเฉลี่ยความถี่สะสมของคะแนนตามดัชนีความขรุขระและการสูญเสียผิวรากลฟันภายหลังการกำจัดหินน้ำลายด้วยหัวขูดหินน้ำลาย 1S, H3, P10 และเกรซีคิวเรตต์	28
9	ค่าเฉลี่ยเวลาในการกำจัดหินน้ำลายโดยใช้หัวขูดหินน้ำลาย 1S, H3, P10 และเกรซีคิวเรตต์	31

สารบัญภาพ

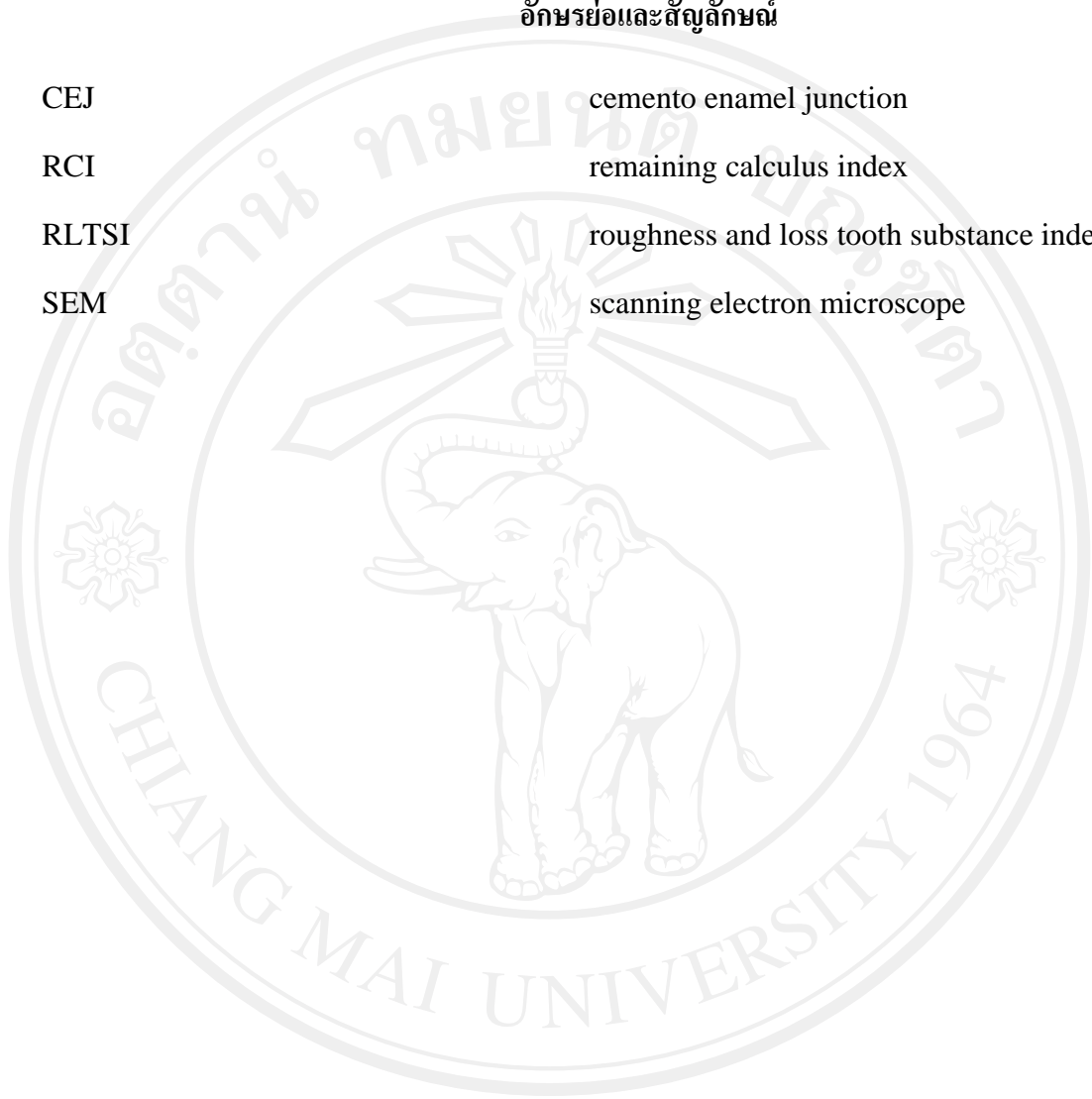
ภาพ		หน้า
1	กลไกการเกิดโรคปริทันต์	4
2	ภาพถ่ายคราบจุลินทรีย์จากกล้องจุลทรรศน์อิเล็กตรอนชนิดส่องกราด	5
3	ความสัมพันธ์ของแบคทีเรียในคราบจุลินทรีย์	6
4	ลักษณะการเคลื่อนที่ของหัวขูดหินน้ำลายของเครื่องขูดหินน้ำลายอัลตราโซนิคส์ และ โซนิค	11
5	เครื่องขูดหินน้ำลายอัลตราโซนิคส์พีโซอิเล็กทริก P5 Newtron XS	12
6	ตัวอย่างหัวขูดหินน้ำลายแบบคิวเรตต์ แบบสลิมและแบบไดมอนด์	12
7	หัวขูดหินน้ำลาย คิวเรตต์, H3, 1S และ P10	19
8	แนวเพื่อกำหนดขอบเขตบนตัวฟันบริเวณ CEJ และต่ำกว่า CEJ 5 มิลลิเมตร	20
9	ภาพจำลองแสดงตำแหน่งที่ถ่ายภาพผิวรากฟันด้วยกล้องจุลทรรศน์อิเล็กตรอนชนิดส่องกราด	20
10	ตัวอย่างผิวรากฟันก่อนและหลังการกำจัดหินน้ำลายจนได้ผิวรากฟันที่สะอาดเมื่อมองด้วยตาเปล่า	23
11	ตัวอย่างภาพจากกล้องจุลทรรศน์อิเล็กตรอนชนิดส่องกราดที่กำลังขยาย 100 เท่า แสดงลักษณะผิวรากฟันตามดัชนีหินน้ำลายตกค้าง	24
12	ตัวอย่างภาพจากกล้องจุลทรรศน์อิเล็กตรอนชนิดส่องกราดที่กำลังขยาย 100 เท่า แสดงลักษณะผิวรากฟันตามดัชนีความขรุขระและการสูญเสียผิวรากฟัน	25
13	แผนภูมิแท่งแสดงค่าหินน้ำลายตกค้างของหัวขูดหินน้ำลาย 1S, H3, P10 และ เกรซีคิวเรตต์	26
14	แผนภูมิแท่งแสดงการกระจายค่าหินน้ำลายตกค้าง 0, 1, 2, 3 ภายหลังจากกำจัดหินน้ำลายโดยใช้หัวขูดหินน้ำลาย 1S, H3, P10 และเกรซีคิวเรตต์	27
15	แผนภูมิแท่งแสดงค่าความขรุขระของผิวรากฟันภายหลังจากกำจัดหินน้ำลายโดยใช้หัวขูดหินน้ำลาย 1S, H3, P10 และเกรซีคิวเรตต์	27
16	แผนภูมิแท่งแสดงการกระจายค่าความขรุขระของผิวรากฟัน 0, 1, 2, 3 ภายหลังจากกำจัดหินน้ำลายโดยใช้หัวขูดหินน้ำลาย 1S, H3, P10 และเกรซีคิวเรตต์	29

- 17 ภาพจากกล้องจุลทรรศน์อิเล็กตรอนชนิดส่องกราดที่กำลังขยาย 100 เท่า แสดงลักษณะผิวรากฟันภายหลังการกำจัดหินน้ำลาย a) 1S b) H3 c) P10 d) gracey curette 30
- 18 แผนภูมิแท่งแสดงค่าเฉลี่ยเวลาในการกำจัดหินน้ำลายโดยใช้หัวขูดหินน้ำลาย 1S, H3, P10 และเกรซีคิวเรตต์ 31



อักษรย่อและสัญลักษณ์

CEJ	cemento enamel junction
RCI	remaining calculus index
RLTSI	roughness and loss tooth substance index
SEM	scanning electron microscope



ลิขสิทธิ์มหาวิทยาลัยเชียงใหม่
 Copyright© by Chiang Mai University
 All rights reserved